

## О КРИТЕРИИ ОБРАЗОВАНИЯ ОТРАЖЕННОЙ ОТ ОБЛАКА ЧАСТИЦ УДАРНОЙ ВОЛНЫ

С. П. Киселев, В. П. Киселев

Институт теоретической и прикладной механики СО РАН, 630090 Новосибирск

Рассмотрена задача об образовании отраженной от облака частиц «коллективной» ударной волны, наблюдавшейся ранее в эксперименте. На основе численного и аналитического решений задачи получен критерий возникновения отраженной ударной волны.

В результате экспериментальных исследований [1] взаимодействия ударной волны (УВ) с облаком частиц оргстекла и бронзы было установлено, что при объемной концентрации частиц  $m_2 \sim 10^{-2}$  происходит формирование отраженной от облака «коллективной» УВ. Численное решение этой задачи дало аналогичные результаты [2]. В данной работе на основе численного и приближенного аналитического решений [2, 3] найден критерий образования отраженной «коллективной» УВ.

Рассмотрим постановку задачи. Имеется плоский канал, заполненный воздухом (рис. 1). В области  $\Omega$  находится облако сферических частиц. Слева на облако набегает УВ. Расчет течения газа и частиц, возникающего в результате взаимодействия УВ с облаком частиц, производится численным методом, описанным в [2]. В зависимости от параметров газа и частиц перед облаком частиц могут возникнуть отраженная УВ или волна сжатия. Найдем условие образования отраженной УВ.

Интенсивность скачка уплотнения характеризуется числом Маха потока  $M_\Phi$  в системе координат, где скачок поконится. Для того чтобы в расчетах отделить УВ от волны сжатия, будем считать, что при  $M_\Phi \geq 1,15$  имеет место УВ, а при  $M_\Phi < 1,15$  — волна сжатия. В случае  $M_\Phi \geq 1,15$  приращение энтропии  $\Delta S$  за скачком удовлетворяет неравенству [4]

$$\frac{\Delta S}{R} = \frac{2\gamma}{3(\gamma+1)^2} (M_\Phi^2 - 1)^3 \geq 5,4 \cdot 10^{-3}.$$

Здесь  $R$  — универсальная газовая постоянная;  $\gamma$  — показатель адиабаты Пуассона. При  $M_\Phi < 1,15$  изменением энтропии можно пренебречь и считать течение изоэнтропическим, а волну сжатия — акустической;  $M_\Phi$  определяется по формуле  $M_\Phi = (v_1 - D_\Phi)/c_1$ , где

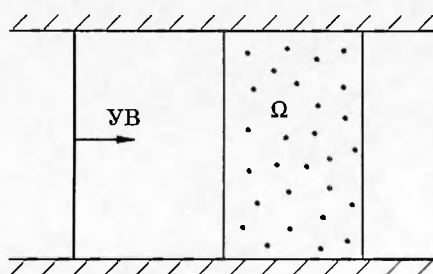


Рис. 1

$v_1$  — скорость набегающего потока;  $c_1$  — скорость звука;  $D_\Phi$  — скорость распространения отраженной волны. Из этой формулы видно, что  $M_\Phi$  является числом Маха отраженной УВ. При  $M_\Phi \geq 1,15$ , согласно [5], получим

$$p/p_1 \geq 1,38 \quad (1)$$

( $p_1$  и  $p$  — давление соответственно перед и за отраженной УВ). Формулу (1) будем использовать в качестве условия образования отраженной УВ, что удобно в численных расчетах.

Пусть  $m_2^*$  — объемная концентрация частиц, при которой  $p/p_1 = 1,38$ , и перед облаком сформировалась отраженная УВ. Величина  $m_2^*$  является функцией параметров:  $m_2^* = m_2^*(\rho_{11}, \rho_{22}, v_1, c_1, h, l_p, \gamma)$ , где  $\rho_{11}, \rho_{22}$  — плотность газа и частиц;  $h$  — длина облака;  $l_p$  — длина релаксации частиц. Составим из этих параметров безразмерные комплексы  $(\rho_{11}/\rho_{22}, M = v_1/c_1, h/l_p)$  и будем искать решение в виде произведения функций

$$m_2^* = \xi(\rho_{11}/\rho_{22}) \varphi(h/l_p) \psi(M) \quad (\gamma = \text{const}).$$

Вид этих функций, найденный по результатам аппроксимации численных расчетов, приводится ниже.

Время формирования отраженной УВ порядка времени торможения газа [2]

$$\tau_v = \frac{4}{3} \frac{d}{C_d |v_1 - v_2|} \frac{1}{m_2/m_1},$$

где  $C_d$  — коэффициент сопротивления частицы;  $m_1$  и  $m_2$  — объемные концентрации газа и частиц, которые связаны соотношением  $m_1 + m_2 = 1$ . За время формирования отраженной УВ необходимо, чтобы скорости газа и частиц не успевали выравняться между собой. Поэтому давление  $p$  за отраженной волной будет максимальным при условии  $\tau_v \sim \tau_{12}$ . Характерное время релаксации относительной скорости газа и частиц согласно [6] имеет вид

$$\tau_{12} = \frac{4}{3} \frac{d}{C_d |v_1 - v_2|} \frac{1}{\rho_{11}/\rho_{22} + m_2/m_1}.$$

Это условие выполняется, если  $\rho_{11}/\rho_{22} \sim m_2^*/m_1$ , откуда следует, что  $m_2^* \sim \rho_{11}/\rho_{22}$ . Поэтому функцию  $\xi$  можно выбрать в виде  $\xi = \rho_{11}/\rho_{22}$ . (Напомним, что речь идет о нижней границе  $m_2$ , когда уже возникает УВ.) Приведенные численные расчеты и приближенное аналитическое решение (7), (8) подтверждают этот выбор функции  $\xi$ . Результаты расчетов для бронзы и оргстекла, обработанные в координатах  $m_2^*/(\rho_{11}/\rho_{22})$ ,  $h/l_p$ ,  $M$ , ложатся на одну кривую (рис. 2, 3).

Функции  $\psi(M)$  и  $\varphi(h/l_p)$  получены путем аппроксимации результатов численных расчетов. На рис. 2 приведена зависимость  $m_2^*/(\rho_{11}/\rho_{22})$  от  $M$  при  $h/l_p = 0,4$ . Здесь точки 1 — результаты расчетов для частиц оргстекла, 2 — для частиц бронзы, линия соответствует аппроксимационной формуле

$$\varphi(0,4) \psi(M) = \frac{9,26}{M^2} - \frac{12,8}{M} + 4,84. \quad (2)$$

На рис. 3 построено отношение  $m_2^*/(\rho_{11}/\rho_{22})$  в зависимости от  $h/l_p$  при  $M = 1,3$ . Точки 1, 2 означают то же, что и на рис. 2, а линия отвечает аппроксимационной формуле

$$\psi(1,3) \varphi(h/l_p) = \frac{4,27 \cdot 10^{-2}}{h/l_p} + 0,597. \quad (3)$$

Комбинируя формулы (2) и (3), найдем искомую зависимость

$$m_2^* = \frac{\rho_{11}}{\rho_{22}} \left( \frac{0,09}{h/l_p} + 1,26 \right) \left( \frac{9,26}{M^2} - \frac{12,8}{M} + 4,84 \right). \quad (4)$$

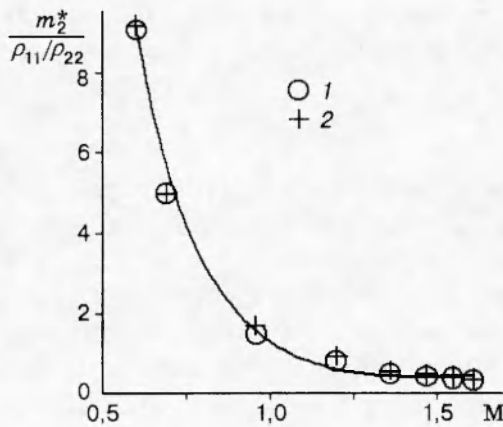


Рис. 2

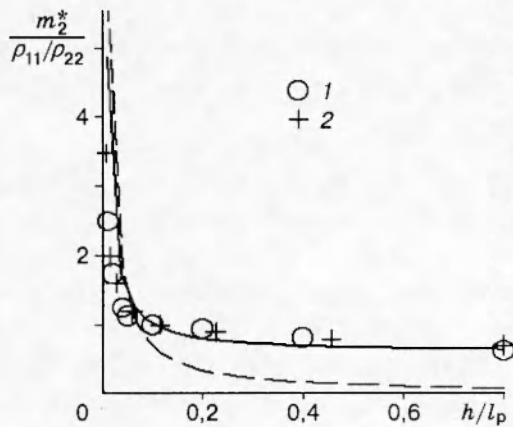


Рис. 3

Рассмотрим пример образования отраженной УВ. Зададим УВ, набегающую на облако частиц, с числом Maxa  $M_0 = 1,5$ . Облако состоит из частиц оргстекла с  $d = 10^{-2}$  см,  $\rho_{22} = 1,2$  г/см<sup>3</sup>,  $h = 2$  см. Плотность газа за УВ  $\rho_{11} = 2,34 \cdot 10^{-3}$  г/см<sup>3</sup>, число Maxa потока  $M = 0,6$ ,  $l_p = 14,4$  см. Объемная концентрация частиц, вычисленная по (4),  $m_2^* = 3,25 \cdot 10^{-2}$ .

На рис. 4 приведены результаты расчетов зависимости  $p/p_1$  от  $x$  на моменты времени 50, 100, 150, 200 мкс (кривые 1–4, вертикальными отрезками обозначены границы облака). Расчеты проводились при давлении газа за набегающей УВ  $p_1 = 2,44$  атм и начальной объемной концентрации частиц  $m_2^0 = 3,25 \cdot 10^{-2}$ . Из рис. 4 видно, что волна сжатия, образующаяся в передней части облака, с течением времени растет, ее фронт за счет нелинейных эффектов становится более крутым и она превращается в отраженную УВ. Отсюда следует, что формула (4) согласуется с данными численных расчетов.

В [3] построено приближенное аналитическое решение, описывающее течение газа в разреженном облаке частиц ( $m_2 \sim 10^{-3}$ ); при этом пренебрегалось движением частиц, так как на начальном этапе  $v_1 \gg v_2$ . Влияние облака рассматривалось как малое возмущение. Уравнения для газа раскладывались в ряд по малому параметру  $m_2$ , и удерживались линейные члены разложения, линеаризованные уравнения решались методом характеристик.

Для обезразмеренных возмущений скорости  $v = v'/v_0$ , плотности  $\eta = \rho'/\rho_0$  и энтро-

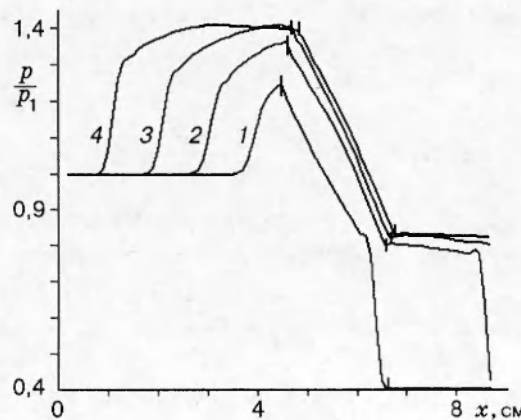


Рис. 4

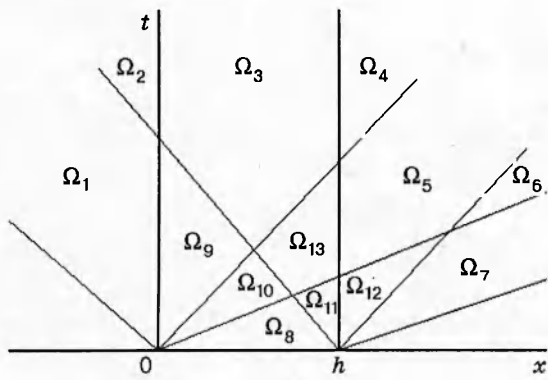


Рис. 5

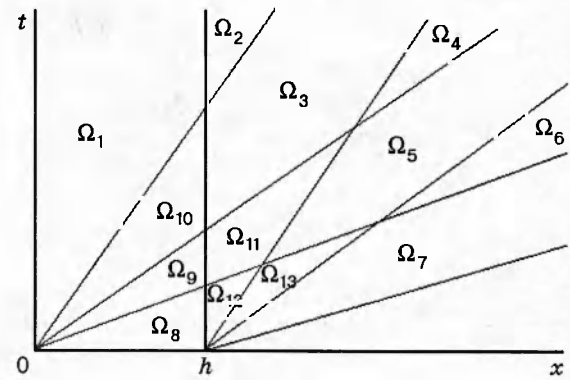


Рис. 6

пии  $s = S'/c_V$  газа (индекс 0 относится к невозмущенным параметрам, а штрих — к возмущениям) получены следующие уравнения:

$$\begin{aligned} v &= \frac{1}{2} \left( \int_{C_+} \varphi dt + \int_{C_-} \varphi dt \right), \quad s = \int_{C_0} \psi dt, \quad \eta = \frac{1}{2} \frac{v_0}{a_0} \left( \int_{C_+} \varphi dt - \int_{C_-} \varphi dt \right), \\ \varphi &= \varphi_1 + \varphi_2, \quad \psi = \psi_1 + \psi_2, \quad \varphi_1 = -\frac{a_0^{\ddot{\alpha}}}{\gamma v_0} \frac{\partial s}{\partial x}, \quad \varphi_2 = -\frac{m_2^0}{\tau} \int_{-\infty}^x (\delta(y) - \delta(y-h)) dy, \\ \psi_1 &= m_2^0 \frac{\gamma(\gamma-1)M^2}{\tau} \int_{-\infty}^x (\delta(y) - \delta(y-h)) dy, \quad \psi_2 = -m_2^0 \frac{1-T_2^0/T_1^0}{\omega} \int_{-\infty}^x (\delta(y) - \delta(y-h)) dy, \end{aligned}$$

где  $a_0$  — скорость звука;  $M = v_0/a_0$ ;  $T_1^0, T_2^0$  — температура частиц и газа;  $\tau = 4d/(3C_d v_0)$ ;  $\omega = d^2 \rho_{11}^0 c_V / (6\lambda \text{Nu})$ ;  $c_V$  и  $\lambda$  — теплоемкость и коэффициент теплопроводности газа;  $\text{Nu}$  — число Нуссельта;  $\delta(y)$ ,  $\delta(y-h)$  — дельта-функции. Интегрирование проводилось вдоль характеристик

$$C_{\pm}: \quad x = (v_0 \pm a_0)t + \xi_{\pm}, \quad C_0: \quad x = v_0 t + \xi_0.$$

Характеристиками с константами  $\xi_{\pm} = \xi_0 = 0$ ,  $\zeta_{\pm} = \xi_0 = h$  и прямыми  $x = 0$  и  $x = h$  решение разбивается на 13 областей, как это показано на рис. 5 и 6 для  $M < 1$  и  $M > 1$  соответственно.

В формулах (3.6) и (3.7) работы [3] пропущено слагаемое, пропорциональное  $\partial s / \partial t$ , учет которого дает

$$\int_{C_+} \varphi_1 dt = \frac{a_0^2}{\gamma v_0 (v_0 + a_0)} \left( -s + \int_{C_+} \frac{\partial s}{\partial t} dt \right), \quad \int_{C_-} \varphi_1 dt = \frac{a_0^2}{\gamma v_0 (v_0 - a_0)} \left( -s + \int_{C_-} \frac{\partial s}{\partial t} dt \right).$$

Пренебрегая теплообменом, выпишем исправленное решение. При дозвуковом течении имеем

$$\begin{aligned} v' &= -\frac{m_2^0}{2\tau} \left( v_0 t + \frac{Mx}{1-M} \right) (1 + (\gamma-1)M) \quad \text{в } \Omega_1, \\ v' &= -\frac{m_2^0}{2\tau} \frac{Mh}{1-M} (1 + (\gamma-1)M) \quad \text{в } \Omega_2, \\ v' &= -\frac{m_2^0 h M}{2\tau(1-M)} \left( 1 + (\gamma-1)M - \frac{2\gamma M}{1+M} \frac{x}{h} \right) \quad \text{в } \Omega_3, \Omega_{13}, \end{aligned}$$

$$\begin{aligned}
v' &= -\frac{m_2^0}{2\tau} \frac{Mh}{1+M} (1 - (\gamma - 1)M) \quad \text{в } \Omega_4, \Omega_5, \Omega_6, \\
v' &= -\frac{m_2^0}{2\tau} \left( v_0 t - \frac{(x - h)M}{1 + M} \right) (1 - (\gamma - 1)M) \quad \text{в } \Omega_7, \quad v' = -\frac{m_2^0}{\tau} v_0 t \quad \text{в } \Omega_8, \\
v' &= -\frac{m_2^0}{2\tau} \left( v_0 t (1 + (\gamma - 1)M) + xM \frac{1 - (\gamma - 1)M}{1 + M} \right) \quad \text{в } \Omega_9, \Omega_{10}, \\
v' &= -\frac{m_2^0}{2\tau} \left( v_0 t (1 - (\gamma - 1)M) + (x - h)M \frac{1 + (\gamma - 1)M}{1 - M} \right) \quad \text{в } \Omega_{11}, \\
v' &= -\frac{m_2^0}{2\tau} \left( v_0 t + (x - h) \frac{M}{1 + M} \right) (1 - (\gamma - 1)M) \quad \text{в } \Omega_{12}, \\
\rho' &= \frac{m_2^0 M \rho_0}{2a_0 \tau} \left( a_0 t + \frac{x}{1 - M} \right) (1 + (\gamma - 1)M) \quad \text{в } \Omega_1, \quad \rho' = \frac{m_2^0 M \rho_0 h}{2a_0 \tau} \frac{1 + (\gamma - 1)M}{1 - M} \quad \text{в } \Omega_2, \\
\rho' &= \frac{m_2^0 M \rho_0}{a_0 \tau (1 - M)} \left( -\frac{\gamma x}{1 + M} + \frac{h}{2} (1 + (\gamma - 1)M) \right) \quad \text{в } \Omega_3, \\
\rho' &= -\frac{m_2^0 M \rho_0 h}{2a_0 \tau} \frac{(\gamma - 1)M + 2\gamma - 1}{1 + M} \quad \text{в } \Omega_4, \\
\rho' &= \frac{m_2^0 M \rho_0}{a_0 \tau} \left( (\gamma - 1)(x - v_0 t) - \frac{h}{2} \frac{(\gamma - 1)M + 2\gamma - 1}{1 + M} \right) \quad \text{в } \Omega_5, \\
\rho' &= -\frac{m_2^0 M \rho_0 h}{2a_0 \tau} \frac{1 - (\gamma - 1)M}{1 + M} \quad \text{в } \Omega_6, \quad \rho' = \frac{m_2^0 M \rho_0}{2a_0 \tau} \left( \frac{x - h}{1 + M} - a_0 t \right) (1 - (\gamma - 1)M) \quad \text{в } \Omega_7, \\
\rho' &= 0 \quad \text{в } \Omega_8, \quad \rho' = \frac{m_2^0 M \rho_0}{2a_0 \tau} \left( a_0 t (1 + (\gamma - 1)M) - x \frac{(\gamma - 1)M + 2\gamma - 1}{1 + M} \right) \quad \text{в } \Omega_9, \\
\rho' &= \frac{m_2^0 M \rho_0}{2a_0 \tau} \left( a_0 t - \frac{x}{1 + M} \right) (1 - (\gamma - 1)M) \quad \text{в } \Omega_{10}, \\
\rho' &= \frac{m_2^0 M \rho_0}{2a_0 \tau} \left( \frac{h - x}{1 - M} - a_0 t \right) (1 + (\gamma - 1)M) \quad \text{в } \Omega_{11}, \\
\rho' &= \frac{m_2^0 M \rho_0}{2a_0 \tau} \left( (x - h) \frac{(\gamma - 1)M + 2\gamma - 1}{1 + M} - a_0 t (1 + (\gamma - 1)M) \right) \quad \text{в } \Omega_{12}, \\
\rho' &= \frac{m_2^0 M \rho_0}{a_0 \tau} \left( -(\gamma - 1)v_0 t - \left( 1 + \frac{\gamma M^2}{1 - M^2} \right) x + \frac{h}{2} \frac{1 + (\gamma - 1)M}{1 - M} \right) \quad \text{в } \Omega_{13}, \\
S' &= 0 \quad \text{в } \Omega_1, \Omega_2, \Omega_6, \Omega_7, \quad S' = m_2^0 c_V \gamma (\gamma - 1)M^2 x / (v_0 \tau) \quad \text{в } \Omega_3, \Omega_9, \\
S' &= m_2^0 c_V \gamma (\gamma - 1)M^2 t / \tau \quad \text{в } \Omega_8, \Omega_{10}, \Omega_{11}, \Omega_{13}, \\
S' &= m_2^0 c_V \gamma (\gamma - 1)M^2 (v_0 t - x + h) / (v_0 \tau) \quad \text{в } \Omega_5, \Omega_{12}, \\
S' &= m_2^0 c_V \gamma (\gamma - 1)M^2 h / (v_0 \tau) \quad \text{в } \Omega_4.
\end{aligned} \tag{5}$$

Качественная зависимость  $v'(x)$ , построенная в соответствии с (5) для фиксированного момента времени  $t$ , показана на рис. 7. Видно, что навстречу потоку газа распространяется волна сжатия, в которой происходит его торможение, а в облаке газ ускоряется в волне разрежения. Отметим, что наблюдаемое ранее [3] различие численного и аналитического решений в области  $\Omega_4$  исчезло.

Для сверхзвукового течения решение имеет вид

$$\begin{aligned}
 v' &= -\frac{m_2^0}{\tau} \frac{\gamma M^2}{M^2 - 1} x \quad \text{в } \Omega_1, \quad v' = -\frac{m_2^0}{\tau} \frac{\gamma M^2}{M^2 - 1} h \quad \text{в } \Omega_2, \\
 v' &= -\frac{m_2^0}{2\tau} \left( \frac{2\gamma M^2 h}{M^2 - 1} + \left( v_0 t - \frac{M}{M - 1} x \right) (1 + (\gamma - 1)M) \right) \quad \text{в } \Omega_3, \Omega_{11}, \\
 v' &= -\frac{m_2^0}{2\tau} \frac{M h}{M + 1} (1 - (\gamma - 1)M) \quad \text{в } \Omega_4, \Omega_5, \Omega_6, \\
 v' &= -\frac{m_2^0}{2\tau} \left( v_0 t - \left( x - h \right) \frac{M}{M + 1} \right) (1 - (\gamma - 1)M) \quad \text{в } \Omega_7, \Omega_{13}, \quad v' = -\frac{m_2^0}{\tau} v_0 t \quad \text{в } \Omega_8, \\
 v' &= -\frac{m_2^0}{2\tau} \left( v_0 t (1 + (\gamma - 1)M) + x \frac{M}{M + 1} (1 - (\gamma - 1)M) \right) \quad \text{в } \Omega_9, \Omega_{10}, \\
 v' &= -\frac{m_2^0}{\tau} \left( v_0 t - \frac{\gamma M^2}{M^2 - 1} (x - h) \right) \quad \text{в } \Omega_{12}, \\
 \rho' &= \frac{m_2^0 \gamma M \rho_0}{a_0 \tau (M^2 - 1)} x \quad \text{в } \Omega_1, \quad \rho' = \frac{m_2^0 \gamma M \rho_0}{a_0 \tau (M^2 - 1)} h \quad \text{в } \Omega_2, \\
 \rho' &= \frac{m_2^0 M \rho_0}{2a_0 \tau} \left( \frac{2\gamma h}{M^2 - 1} + a_0 t (1 + (\gamma - 1)M) - \frac{1 + (\gamma - 1)M}{M - 1} x \right) \quad \text{в } \Omega_3, \\
 \rho' &= -\frac{m_2^0 M \rho_0 h}{2a_0 \tau} \frac{(\gamma - 1)M^2 + 1 + \gamma(M - 2)}{M^2 - 1} \quad \text{в } \Omega_4, \\
 \rho' &= \frac{m_2^0 M \rho_0}{2a_0 \tau} \left( 2(\gamma - 1)(x - v_0 t) - h \frac{(\gamma - 1)M^2 + 1 + \gamma(M - 2)}{M^2 - 1} \right) \quad \text{в } \Omega_5, \tag{6} \\
 \rho' &= \frac{m_2^0 M \rho_0 h}{2a_0 \tau} \frac{(\gamma - 1)M - 1}{M + 1} \quad \text{в } \Omega_6, \quad \rho' = \frac{m_2^0 M \rho_0}{2a_0 \tau} \left( \frac{h - x}{M + 1} + a_0 t \right) ((\gamma - 1)M - 1) \quad \text{в } \Omega_7, \\
 \rho' &= 0 \quad \text{в } \Omega_8, \quad \rho' = \frac{m_2^0 M \rho_0}{2a_0 \tau} \left( \frac{x}{M + 1} - a_0 t \right) ((\gamma - 1)M - 1) \quad \text{в } \Omega_9, \\
 \rho' &= \frac{m_2^0 M \rho_0}{2a_0 \tau} \left( a_0 t (1 + (\gamma - 1)M) - x \frac{(\gamma - 1)M^2 + 1 + \gamma(M - 2)}{M^2 - 1} \right) \quad \text{в } \Omega_{10}, \\
 \rho' &= \frac{m_2^0 M \rho_0}{2a_0 \tau} \left( a_0 t (1 - (\gamma - 1)M) + \frac{x}{M + 1} \left( (\gamma - 1)M - 1 - \frac{2\gamma}{M - 1} \right) + \frac{2\gamma h}{M^2 - 1} \right) \quad \text{в } \Omega_{11}, \\
 \rho' &= \frac{m_2^0 \gamma M \rho_0}{a_0 \tau} \frac{x - h}{M^2 - 1} \quad \text{в } \Omega_{12}, \\
 \rho' &= \frac{m_2^0 M \rho_0}{2a_0 \tau} \left( (x - h) \frac{(\gamma - 1)M^2 + 1 + \gamma(M - 2)}{M^2 - 1} - a_0 t (1 + (\gamma - 1)M) \right) \quad \text{в } \Omega_{13}, \\
 S' &= 0 \quad \text{в } \Omega_6, \Omega_7, \quad S' = m_2^0 c_V \gamma (\gamma - 1) M^2 x / (v_0 \tau) \quad \text{в } \Omega_1, \Omega_{10}, \\
 S' &= m_2^0 c_V \gamma (\gamma - 1) M^2 t / \tau \quad \text{в } \Omega_8, \Omega_9, \\
 S' &= m_2^0 c_V \gamma (\gamma - 1) M^2 (v_0 t - x + h) / (v_0 \tau) \quad \text{в } \Omega_5, \Omega_{11}, \Omega_{12}, \Omega_{13}, \\
 S' &= m_2^0 c_V \gamma (\gamma - 1) M^2 h / (v_0 \tau) \quad \text{в } \Omega_2, \Omega_3, \Omega_4.
 \end{aligned}$$

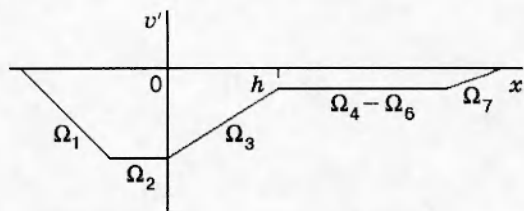


Рис. 7

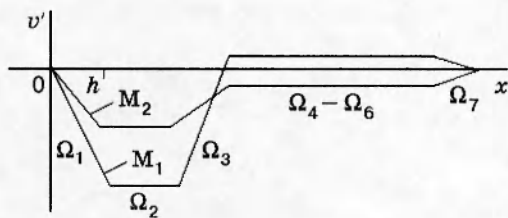


Рис. 8

Сравнение систем уравнений (6) и (3.12) из [3] показывает, что в  $\Omega_1$  решение (3.12) является верным, поэтому все выводы о зависимости  $M(x)$ , сделанные на его основе, правильны. Система уравнений (5), (6) справедлива также в том случае, когда в однородный поток газа внезапно помещается облако частиц конечных размеров. Отметим, что формулы (5), (6) не применимы в окрестности точки  $M = 1$ .

На рис. 8 приведена зависимость  $v'(x)$  для чисел Маха потока  $M_1$  и  $M_2$ , где  $M_1 < M_* < M_2$ ,  $M_* = 1/(\gamma - 1)$ . Видно, что в облаке газ тормозится, а за облаком ускоряется в волне разрежения. При  $M > M_*$  газ ускоряется до скорости, большей, чем скорость газа перед облаком, что связано с наличием высокого давления в облаке и адиабатичностью процесса расширения газа за ним. Данный эффект подтверждается результатами численных расчетов (рис. 9, где  $v = v_0 + v'$ , вертикальными отрезками обозначены границы облака). На входе в облако газ имел параметры:  $M = 4$ ,  $\rho_{11} = 10^{-3}$  г/см<sup>3</sup>,  $v_0 = 1,36 \cdot 10^5$  см/с, а облако частиц:  $m_2^0 = 10^{-3}$ ,  $\rho_{22} = 1,2$  г/см<sup>3</sup>,  $h = 1$  см,  $d = 100$  мкм.

Оценим условие формирования отраженной УВ на основе приближенного решения (5), (6). Волна сжатия, встающая перед облаком частиц, формируется в области  $\Omega_2$ , поэтому для ее нахождения используем решение из  $\Omega_2$ .

Согласно (1), отраженную УВ будем считать образовавшейся, если  $p'/p_1 \approx \rho'/\rho_1 + S'/c_V \approx 0,4$ , где  $p'$ ,  $\rho'$  и  $S'$  — возмущения давления, плотности и энтропии газа, возникающие в результате взаимодействия с облаком частиц. Подставляя  $\rho'$  и  $S'$  из (5), получим условие формирования отраженной УВ при  $M < 1$ :

$$m_2^* = \frac{0,8}{\gamma} \frac{\rho_{11}}{\rho_{22}} \frac{1}{h/l_p} \frac{1 - M}{M^2(1 + (\gamma - 1)M)}. \quad (7)$$

Для сверхзвукового течения аналогичная подстановка из (6) дает аналитическое решение

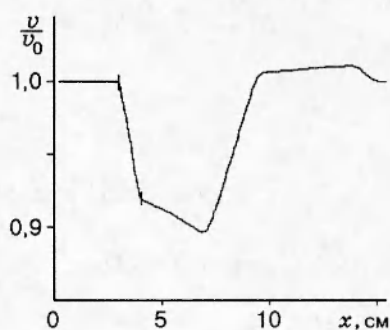


Рис. 9

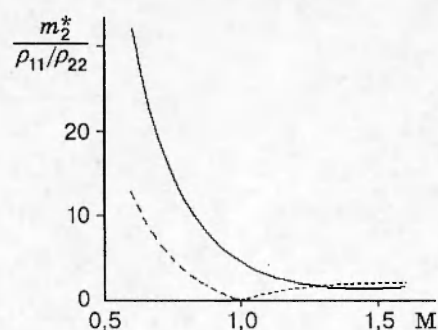


Рис. 10

$$m_2^* = \frac{0,4}{\gamma^2} \frac{\rho_{11}}{\rho_{22}} \frac{1}{h/l_p} \frac{M^2 - 1}{M^2 + (1 - 1/\gamma)M^2(M^2 - 1)}. \quad (8)$$

На рис. 3 штриховой линией показано отношение  $m_2^*/(\rho_{11}/\rho_{22})$  в зависимости от  $h/l_p$ , построенное по формуле (8). Видно, что для  $h/l_p < 0,1$  имеется хорошее совпадение аналитического результата с численным. При больших значениях  $h/l_p$  численное и аналитическое решения различаются, поэтому появляется отличие в значениях  $m_2^*$ .

На рис. 10 приведено сравнение численного (сплошная кривая) и аналитического (штриховая) решений по зависимости  $m_2^*/(\rho_{11}/\rho_{22})$  от  $M$  при  $h/l_p = 0,04$ . Видно, что в области сверхзвукового течения эти решения достаточно хорошо согласуются между собой. В окрестности  $M = 1$  аналитическое решение не работает, а отличие при  $M < 1$  связано с тем, что здесь  $m_2^*$  лежит в области, где приближенное решение дает большую ошибку.

## ЛИТЕРАТУРА

1. Boiko V. M., Fedorov A. V., Fomin V. M., et al. Ignition of small particles behind shock waves // Shock Waves, Explosions, and Detonations. Ser. Progress in Astronautics and Aeronautics. V. 87. N. Y.: AIAA Publishing, 1987. P. 71–87.
2. Киселев В. П., Киселев С. П., Фомин В. М. О взаимодействии ударной волны с облаком частиц конечных размеров // ПМТФ. 1994. Т. 35, № 2. С. 26–37.
3. Киселев С. П., Киселев В. П. О некоторых особенностях течения газа, возникающего в результате взаимодействия ударной волны с облаком частиц // ПМТФ. 1995. Т. 36, № 2. С. 8–18.
4. Лойцянский Л. Г. Механика жидкости и газа. М.: Наука, 1970.
5. Рождественский Б. Л., Яненко Н. Н. Система квазилинейных уравнений. М.: Мир, 1987.
6. Киселев С. П., Руев Г. А., Трунев А. П. и др. Ударно-волновые процессы в двухкомпонентных и двухфазных средах. Новосибирск: Наука, 1992.

Поступила в редакцию 30/V 1996 г.,  
в окончательном варианте — 30/IX 1996 г.